

# تشخیص ویروس هپاتیت G (GBV-C) در بیماران

## هپاتیت مزمن C، با روش RT-Nested PCR

رضا قنبری<sup>۱\*</sup>، مهرداد روانشاد<sup>۲</sup>، سیدیونس حسینی<sup>۱</sup>، کیانا شاهزمانی<sup>۳\*</sup>

<sup>۱</sup> پژوهشگر، گروه ویروس شناسی، دانشکده پزشکی، دانشگاه تربیت مدرس تهران، تهران، ایران

<sup>۲</sup> استادیار، گروه ویروس شناسی، دانشکده پزشکی، دانشگاه تربیت مدرس تهران، تهران، ایران

<sup>۳</sup> استادیار، گروه زیست شناسی، دانشکده علوم، دانشگاه لرستان، لرستان، ایران

\* پژوهشگر، مرکز تحقیقات گوارش و کبد، بیمارستان شریعتی، دانشگاه علوم پزشکی تهران، تهران، ایران

### چکیده

#### زمینه و هدف

ویروس هپاتیت G (GBV-C)، یک ویروس RNA دار تک رشته ای با پالریته مثبت می باشد که عضوی از خانواده فلاؤی ویریده است. عفونت با این ویروس شایع بوده و دارای انتشار جهانی است. تشخیص دقیق این ویروس به دلیل همراهی آن با ویروس های مهمی چون HBV، HCV و HIV، بسیار حائز اهمیت می باشد، چرا که در حالت عفونت هم زمان، ممکن است بروی بیماریزایی، سیر بیماری و هم چنین پاسخ به درمان ضد ویروسی تاثیرگذار باشد.

#### روش بروزی

در پژوهش حاضر روش حساس و دقیق RT-Nested PCR، برای جداسازی و شناسایی توالی 5'-UTR ویروس هپاتیت G (GBV-C)، راه اندازی و به کار گرفته شد. ابتدا زنوم ویروس استخراج گردید و سپس با روش ترانس کریپتاز معکوس، cDNA سنتز گردید. پس از آن با استفاده از یک PCR دوم مرحله ای و دو جفت آغازگر اختصاصی، منطقه موردنظر از زنوم ویروس تکثیر گردید و سپس محصول نهایی با روش الکترو فورز روی ژل آگارز مشاهده گردید.

#### یافته ها

بر اساس ۵ نمونه مثبت از نظر ویروس هپاتیت G (GBV-C)، روش مورد نظر راه اندازی و بهینه سازی شد. پس از آن با استفاده از روش راه اندازی شده، تعداد ۷۱ مورد سرم بیمار مبتلا به هپاتیت C مزمن از نظر وجود ویروس هپاتیت G (GBV-C)، مورد بررسی قرار گرفت. در نهایت نشان داده شد که تعداد ۳۱ مورد (۴۳/۶ درصد) از نظر ویروس هپاتیت G، مثبت بودند.

#### نتیجه گیری

بر اساس نتایج به دست آمده در این مطالعه مشخص گردید که روش راه اندازی شده، از کارایی قابل قبولی برای تشخیص عفونت ویروس هپاتیت G (C)، برخوردار می باشد. علاوه بر آن نشان داده شد که میزان آلودگی به این ویروس در افراد مبتلا به عفونت مزمن HCV در ایران بالا می باشد.

کلیدواژه: RT-PCR، Nested PCR، 5'-UTR، ویروس هپاتیت G، ناحیه

گوارش / دوره ۱۴، شماره ۳، پاییز ۱۳۸۸، ۱۵۳-۱۶۰

۴ کیلو باز می باشد. (۲)، همانند دیگر اعضای خانواده فلاؤی ویریده، ژنوم GBV-C شامل یک قالب باز خوانا (Open Readig Frame) بزرگ است، که یک پلی پروتئین با حدود ۳۰۰۰ اسید آمینه را کددھی می کند. (۳-۵)، ژنوم این ویروس حاوی ژن های ساختمانی C، E1 و E2 در یک سوم قسمت ۵ به همراه ژن های غیر ساختمانی NS2، NS3، NS4a، NS4b، NS5a و NS5b در دو سوم باقی مانده است (۶-۷).

با بررسی و مقایسه ژنوم و توالی نوکلئوتیدی دو ویروس GBV-C و ویروس هپاتیت C، مشخص گردید که این دو ویروس از لحاظ ژنومی ارتباط بسیار نزدیکی با هم دارند (۷)، ولی C-GBV بر خلاف HCV، یک ویروس

\* Hepatitis G Virus

#### زمینه و هدف

ویروس هپاتیت G (GBV-C)<sup>\*</sup> یک ویروس کروی و دارای پوشینه می باشد که به همراه ویروس هپاتیت C، عضوی از خانواده فلاؤی ویریده است. (۱)، ژنوم این ویروس RNA تک رشته ای با پالریته مثبت بوده که طول ژنوم آن

نویسنده مستول: تهران، دانشگاه تربیت مدرس، دانشکده علوم پزشکی،

گروه ویروس شناسی

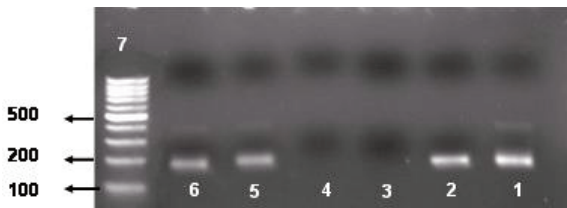
تلفن و نمایر: ۰۲۱-۸۲۸۳۸۳۶

پست الکترونیک: Ravanshad@modares.ac.ir

تاریخ دریافت: ۸۸/۹/۲۵ تاریخ اصلاح نهایی: ۸۸/۱۲/۳

تاریخ پذیرش: ۸۸/۱۲/۴

استخراج زنوم QIAamp Viral RNA Mini Kit، استخراج گردید، که نتایج یکدیگر را تأیید نمودند (شکل ۱).



شکل ۱: مقایسه استخراج زنوم ویروس با دروش کیت و دستی

- ۳: کنترل منفی روش کیت
- ۴: کنترل منفی روش دستی
- ۵: نمونه های مثبت روش کیت
- ۶: نمونه های مثبت روش دستی

**طراحی آغازگر و سنتز cDNA:** ابتدا توالی های مربوط به ویروس GBV-C، از بانک اطلاعاتی Genebank جمع آوری و سپس با استفاده از multiple alignment و بهره گیری از نرم افزار Bioedit، آغازگرهای اختصاصی برای ناحیه ۵'-UTR (جدول ۱). آغازگر بیرونی Forward از نوکلئوتید ۲۸۱ تا نوکلئوتید ۳۹۰ از ناحیه ۵'-UTR و آغازگر بیرونی Reverse از نوکلئوتید ۱۵۸ تا نوکلئوتید ۲۶۲ جفت باز پس از پایان مرحله اول PCR تولید می کند. هم چنان آغازگر درونی Forward از نوکلئوتید ۱۶۳ تا نوکلئوتید ۱۸۲ و آغازگر درونی Reverse از نوکلئوتید ۳۳۱ تا نوکلئوتید ۳۵۰ را شناسایی کرده و قطعه ای به طول ۱۸۸ جفت باز پس از پایان مرحله نهایی PCR تولید خواهد نمود.

جدول ۱: توالی آغازگرهای بیرونی و درونی برای تشخیص ویروس هپاتیت G (GBV-C)

PCR مرحله اول	Forward آغازگر بیرونی	5'-GGTCGTAATCCCGTCACC-3'
	Reverse آغازگر بیرونی	5'-CCCACTGGCTTGTCACT-3'
PCR مرحله دوم	Forward آغازگر درونی	5'-TAGCCACTATAGGTGGGT-3'
	Reverse آغازگر درونی	5'-ATTGAAGGGCGACGTGGACC-3'

استخراج شده بالا فصله با روش ترانس کریپتاز معکوس، با استفاده از آنزیم M-MuLV و آغازگر انodium هگرامر، تبدیل به cDNA گردید. برنامه دمایی برای این مرحله، ۵۵ درجه سانتی گراد، ۶ دقیقه در ۴۲ درجه سانتی گراد و در آخر ۱۰ دقیقه در ۷۲ درجه سانتی گراد، در نظر گرفته شد.

واکنش زنجیره ای پلیمراز در ۲ مرحله (Nested PCR): تهیه مخلوط واکنش در مرحله اول PCR به طریقه زیر صورت گرفت: محلول ۱X بافر PCR، ۲/۵ میکرولیتر، کلرید منیزیم ۱/۵ میلی مولار، ۷۵/۰ میکرولیتر، مخلوط نوکلئوتیدی ۰/۰۲ میلی مولار، ۰/۵ میکرولیتر، آغازگرهای بیرونی ۱۲/۵ پیکومول، ۰/۳ میکرولیتر، آنزیم Taq (5unit/uL)، ۰/۲۵ میکرولیتر و در نهایت ۲ میکرولیتر از cDNA سنتز شده در مرحله قبل. سپس حجم نهایی توسط آب مقطر به ۲۵ مایکرولیتر رسانده شد. دور اول با شرایط زیر انجام

لنفوتروپیک بوده و در لنفوسيت های طحال و مغز استخوان و حتی لنفوسيت های TCD4<sup>+</sup> خون محيطی تکثیر می یابد (۸). عفونت با اين ویروس نسبتاً شایع بوده و دارای انتشار جهانی می باشد، به طوري که ژنوم اين ویروس در ۱ تا ۴ درصد اهدا کنندگان سالم خون شناسایي شده است (۵). انتقال اين ویروس عمدهاً از راه خون و فراورده های خونی و یا از راه تماس جنسی می باشد (۹). آلدگی های مشترک اين ویروس با دیگر ویروس هاميل HIV، HCV، HBV، شایع بوده، که به دليل مشترک بودن راه های انتقال آنهاست (۱۰). از نظر باليني HCV و GBV-C در بين ویروس های دار انسانی غيرمعمول هستند، چون بدون ايجاد يك DNA واسط و يا يك فاز نهفته در سيمکل تکثیر خود، می توانند يك عفونت طولاني مدت را در بدن ايجاد کنند (۱۱). نقش اين ویروس در ايجاد بيماري کبدي هنوز به درستي روشن نشده، و پاتوزن آن در مورد افراد بالغ ايمني هنوز در هاله اي از ابهام وجود دارد و اثبات ارتباط اين ویروس در بيماران با نفس ايمني تحت پيوندهای کبد، كلیه، قلب و مغز استخوان در عفونت هم زمان با HCV و HBV، نيازمند مطالعات وسیع تر و اصولی تر می باشد (۱۲). تحقیقات اخير نشان داده که همراهی ویروس GBV با HIV سود مند بوده و سبب پیش آگهی بهتر و پیشرفت آهسته تریماری به سمت ایدز و جواب بهتر به درمان می گردد (۱۳). برخی مطالعات احتمال تشديد بيماري کبدي و يا افزایش احتمال ابتلابه کانسر اوپلیه کبد (H.C.C) را با حضور GBV-C، بيشرت می دانند (۱۴).

هدف از اين مطالعه راه اندازي يك روش حساس، کارا، ارزان و آسان جهت تشخيص عفونت با ویروس هپاتیت G (GBV)، می باشد. برای اين منظور، از روش RT-Nested PCR و با كمک دو جفت آغازگر اختصاصی برای جداسازی توالی ۵'-Un Translated Region (UTR) ویروس هپاتیت G (GBV-G)، استفاده شده است.

### روش بررسی

**جمع آوري نمونه:** راه اندازی وبهينه سازی روش تشخيص، روی ۵ نمونه مثبت از نظر وجود RNA ویروس GBV-C صورت گرفت. در اين مطالعه سرم ۷۱ بيمار مبتلا به هپاتیت G، از مرکز تحقیقات گوارش و کبد بيمارستان شريعتي تهران، جمع آوري و در دمای منهای ۷۰ درجه سانتی گراد نگهداري گردید.

**استخراج RNA:** RNA ژنومی، از ۱۴۰ ميكروليتر سرم، توسط كيت QIAamp Viral RNA Mini Kit دستور العمل شركت كيابن آلمان، مطابق با شده در دمای منهای ۷۰ درجه سانتی گراد نگهداري گردید.

برای كنترل كيت استخراج، RNA دو عدد كنترل مثبت و يك عدد كنترل منفي، که قبلآ مثبت و منفي بودن آنها ثابت شده بود، هم با روش دستی اسید گوانيدیوم ايزوتیوسيانات - فتل - كلروفرم و هم با كيت تجاري

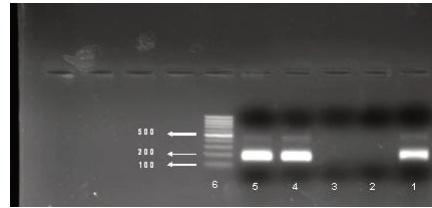
تعیین توالی: در نهایت برای تایید نهایی محصول و اطمینان از صحت کار، تعداد ۱۲ عدد از نمونه های مثبت C-GBV، به صورت تصادفی انتخاب و برای تعیین توالی ارسال شد. مراحل جداسازی محصول نهایی از ژل، توسط کیت بیونر (Bioneer) ساخت کشور کره جنوبی، مطابق با دستورالعمل شرکت سازنده صورت گرفت. تعیین توالی در آزمایشگاه SEQLAB Gottingen GmbH (آلمان) با دستگاه خودکار تعیین توالی ABI PRISM 3700 DNA analyzer automated sequencer (Applied Biosystem, Foster city, CA, USA) انجام شد.

#### یافته ها

ابتدا روش RT-Nested PCR برای تشخیص کیفی ویروس هپاتیت C، روی ۵ نمونه مثبت راه اندازی و بهینه سازی شد. از آنجایی که بهینه سازی واکنش PCR برای تشخیص میزان کم ژنوم ویروس در نمونه بالینی بسیار حائز اهمیت است، در این مطالعه رقت های مختلف محصولات مرحله اول از ۱ میکرولیتر تا ۵ میکرولیتر، مقداری متفاوت از یون کلرید منیزیم از ۳۰ و ۲۵ میکرومولار تا ۳ میکرومولار، تعداد های متفاوت سیکل (۶۰ و ۴۵) هم در در دور اول و هم در دور دوم PCR، دماهای اتصال مختلف در مرحله دوم PCR با کمک شیب دمایی از ۱۵ درجه سانتی گراد تا ۶۹ درجه سانتی گراد و استفاده از غلظت های متفاوت (۱۰، ۱۰۰ و ۱۰۰۰ میکروگرم در دسی لیتر) آلبومین سرم گاوی (Bovine Serum Albumin) اتصال ۳ دمای متفاوت اتصال (۵۳، ۶۴ و ۶۸ درجه سانتی گراد) برای رفع باند اضافه بررسی شد و بهترین و مناسب ترین شرایط و مقادیر برای ایجاد یک محصول واضح و خالص انتخاب گردید. لازم به ذکر است که طی روند مطالعه از ابتدا تا پایان کار، جهت افزایش دقت و صحت، هم در مرحله استخراج و هم در مرحله PCR، از کنترل های مثبت و منفی استفاده گردید. پس از آن کلارای این روش طراحی و بهینه سازی شده، روی سرم ۷۱ بیمار مبتلا به هپاتیت C (۵۵ نفر مرد و ۱۶ نفر زن)، آزمایش گردید. نمونه ها از مرکز تحقیقات گوارش و کبد بیمارستان شریعتی تهران جمع آوری شد و مثبت بودن آنها از نظر کبد بیمارستان شریعتی تهران RT-Nested PCR تایید شده بود (۱۶). پس از انجام دقیق HCV، با روش PCR با مثبت C مزمن، تعداد ۳۱ مورد آنها (۴۳/۶ درصد) از نظر عفونت با GBVC- مثبت بودند، که از این تعداد ۲۵ مورد مرد و ۶ مورد آنها زن بودند. اطلاعات بالینی مربوط به بیماران، شامل جنس، گروههای سنی، ژنوتیپ های مختلف HCV (که قبلاً توسط روش RFLP در آزمایشگاه کیوان تهران انجام گردید)، شدت فیبروز و تغییرات ساختمانی کبد (Staging)، میزان التهاب، نکروز و سیروز کبدی (Grading) (که قبل از آزمایشگاه پاتولوژی بیمارستان شریعتی تهران توسط سیستم Knodell Scoring انجام گردید) و در نهایت میزان فعالیت آنزیم های کبدی (AST, ALT) بر حسب واحد بین المللی بر لیتر (که قبل از آزمایشگاه

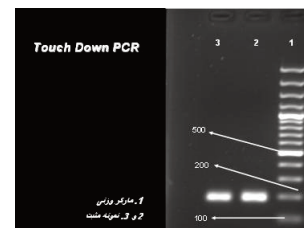
گرفت: ۹۵ درجه سانتی گراد به مدت ۵ دقیقه، ۹۴ درجه سانتی گراد به مدت ۵ ثانیه، ۵۵ درجه سانتی گراد به مدت ۴۰ ثانیه، ۷۲ درجه سانتی گراد به مدت ۵۰ ثانیه، تکرار ۳۰ سیکل از مرحله ۲ تا ۴ و در نهایت ۷۲ درجه سانتی گراد به مدت ۳ دقیقه. مقدار مواد استفاده شده و شرایط دمایی در مرحله دوم همانند مرحله اول بوده، جز غلظت آغازگرهای درونی (۰/۳۵ میکرولیتر)، غلظت الگو (۱ میکرولیتر)، دمای اتصال (۶۴ درجه سانتی گراد) و تعداد تکرار سیکل که ۲۵ سیکل بوده است.

**ژل الکتروفورز:** ۱۰ میکرولیتر از محصول مرحله دوم PCR با ۲ میکرولیتر از بافر نمونه گذاری (Loading Buffer) ۶X، مخلوط و روی ژل آگارز ۲ درصد حاوی اتیدیوم بروماید (Ethidium bromide). منتقل گردید. پس از آن ژل در بافر (TBE 1X) (Tris-borate-EDTA)، به مدت ۴۵ دقیقه با ولتاژ ۸۵ ولت الکتروفورز گردید. (شکل ۲).



شکل ۲: محصول نهایی واکنش PCR، در دور دوم  
۱ و ۵: نمونه های مثبت از نظر وجود GBV-C  
۲ و ۳: نمونه های منفی از نظر وجود GBV-C  
۶: نشانگر 100 bp

**Touch Down PCR:** همان طور که در شکل ۱ و ۲ دیده می شود پس از اتمام دو مرحله PCR، در نمونه های مثبت علاوه بر باند مورد نظر یک باند غیر اختصاصی نیز در بالای باند اصلی مشاهده شد، لذا از روش Touch Down PCR در مرحله دوم استفاده شد.  
Touch Down PCR روشی است که در آن PCR ابتداء از دمای بالا شروع و در ادامه به تدریج دمای اتصال کاهش می یابد، بدین ترتیب فقط محصول خالص اولیه تولید می شود (۱۵)، در این مطالعه جهت انجام Touch Down PCR دمای اتصال از ۷۲ درجه سانتی گراد شروع گردید و به تدریج تا ۶۲ درجه سانتی گراد رسید. با این روش بدون کاهش میزان محصول اصلی، باند غیراختصاصی حذف شد (شکل ۳).



شکل ۳: محصول نهایی واکنش با روش Touch Down PCR  
۱: نشانگر 100 bp  
۲ و ۳: نمونه های مثبت از نظر وجود GBV-C



(۵۸) گزارش شده است. مطالعات جداگانه دیگری نشان دادند که ۱۲/۹ درصد از بیماران تالاسمی، ۸/۸ درصد از معتنادان تزریقی و ۱ درصد از اهداکنندگان خون در ایران از نظر وجود ژنوم GBV-C مثبت بوده اند (۵۹)، و شیوه این ویروس در افراد با احتمال خطر بالا (متلاطیان به تالاسمی، هموفیلی و بیماران همودیالیزی)، تقریباً ۳ برابر افراد معمولی در ایران می باشد (۶۰).

### نتیجه گیری

بر اساس نتایج به دست آمده در این مطالعه مشخص گردید که روش راه اندازی شده، علاوه بر ارزان بودن و دقیق بودن از کارایی بسیار خوبی برای تشخیص مولکولی عفونت ویروس هپاتیت C (GBV-C)، برخوردار می باشد. هم چنین با به کارگیری این روش روی نمونه های افراد متلاطیه هپاتیت C مزمن، مشخص گردید که میزان آلودگی همزمان دو ویروس HCV و GBV-C در ایران بسیار بالا می باشد. هم چنین با تعیین توالی ورسم درخت فیلوزنی مشخص گردید که ژنوتیپ غالب ویروس هپاتیت C (GBV-C)G، در ایران، ژنوتیپ ۲ آن یعنی ژنوتیپ شایع در کشورهای اروپایی و آمریکایی می باشد.

\* Tanaka  
\*\* Alter  
\*\*\* Martinol  
\*\*\*\* Feucht  
\*\*\*\*\* Yan Jie  
\*\*\*\*\* Sauleda  
\*\*\*\*\* Quidos

شده PCR دوگانه روشی است که در آن از دو جفت آغازگر اختصاصی برای تکثیر یک قطعه از زن مورد نظر استفاده می شود. جفت اول توالی مورد نظر را در مرحله اول تکثیر می کند و جفت دوم به نواحی داخلی محصولات اولیه متصل شده و محصولات نهایی را تکثیر می نماید، بنابراین حساسیت و اختصاصیت افزایش می یابد. هدف عمدۀ این روش آن است که در صورت تکثیر نابه جای اشتباہی در مرحله اول، آن توالی دیگر در مرحله دوم تکثیر نشود. از مزایای روش دوگانه (Nested PCR)، افزایش قابل ملاحظه حساسیت و هم چنین ویژگی تست می باشد، هم چنین نیاز به تاییدهای بعدی در این روش کمتر می باشد، به دلیل این که محصول مرحله دوم، تاییدی بر صحت محصول تکثیر یافته در مرحله اول می باشد (۴۶-۴۷). با بررسی مطالعات دیگر در این زمینه، و با توجه به این که ۴۳/۶ درصد از بیماران ایرانی متلاطیه هپاتیت C مزمن، از نظر ژنوم GBV-C هم مثبت بودند، به نظر می رسد که همراهی این دو ویروس در ایران به مراتب بیشتر می باشد. تاناکا<sup>\*</sup> و همکاران میزان عفونت هم زمان این دو ویروس را ۱۱ درصد نشان دادند (۴۸)، آلترا<sup>\*\*</sup> و همکاران در مطالعه ای این میزان را ۲۰ درصد نشان دادند (۴۹). هم چنین مارتینول<sup>\*\*\*</sup>، فوچت<sup>\*\*\*\*</sup>، یان جی<sup>\*\*\*\*\*</sup>، سولدا<sup>\*\*\*\*\*</sup> و کوئیدوس<sup>\*\*\*\*\*</sup> و همکاران در مطالعاتی جداگانه میزان آلودگی هم زمان C-GBV و HCV را به ترتیب ۲۱ درصد، ۲۴/۴ درصد، ۳۱/۵ درصد، ۲۱ و ۱۹ درصد نشان دادند (۵۰-۵۴). البته در مطالعه دیگری در ایران، که در گذشته روی یک تعداد کمتر از بیماران متلاطیه هپاتیت C مزمن انجام شده بود، همراهی این دو ویروس ۴۰ درصد گزارش گردید (۵۵). بیشتر مطالعات انجام شده روی C GBV در ایران بر روی بیماران متلاطیه HIV صورت گرفته، که میزان عفونت هم زمان این دو این ویروس در مطالعات مختلف ۱۰/۹۷ (۵۶)، ۱۱/۳ (۵۷) و ۱۵/۵ درصد (۵۷) می باشد.

## REFERENCES

- Hinrichsen H, Leimenstoll G, Stegen G, Schrader H, Folsch UR, Schmidt WE. Prevalence of and risk factors for hepatitis G (HGV) infection in haemodialysis patients: a multicentre study. *Nephrol Dial Transplant* 2002; 17: 271-275.
- Lerat H, Berby F, Trabaud MA, Vidalin O, Major M, Trepo C, et al. Specific detection of hepatitis C virus minus strand RNA in hematopoietic cells. *The J Clin Invest* 1996; 97: 845-51.
- Leary TP, Muerhoff AS, Simons JN, Pilot-Matias TJ, Erker JC, Chalmers ML, et al. Sequence and genomic organization of GBV-C: a novel member of the flaviviridae associated with human non-A-E hepatitis. *J Med Virol* 1996; 48: 60-7.
- Simons JN, Pilot-Matias TJ, Leary TP, Dawson GJ, Desai SM, Schlauder GG, et al. Identification of two flaviviridae-like genomes in the GB hepatitis agent. *Proc Nat Acad USA* 1995; 92: 3401-5.
- Stapleton JT. GB virus type C/Hepatitis G virus. *Semin liver Dis* 2003; 23:137-48.
- Muerhoff AS, Leary TP, Simons JN, Pilot-Matias TJ, Dawson GJ, Erker JC, et al. Genomic organization of GB viruses A and B: two new members of the Flaviviridae associated with GB agent hepatitis. *J Virol* 1995; 69: 5621-30.
- Linnen J, Wages J, Jr, Zhang-Keck ZY, Fry KE, Krawczynski KZ, Alter H, et al. Molecular cloning and disease association of hepatitis G virus: a transfusion-transmissible agent. *Science* 1996; 271: 505-8.
- Laskus T, Radkowski M, Wang LF, Vargas H, Rakela J. Lack of evidence for hepatitis G virus replication in the livers of patients coinfecte with hepatitis C and G viruses. *J Med virol* 1997; 71: 7804-6.
- Bjorkman P, Naucler A, Winqvist N, Mushahwar I, Widell A. A case-control study of transmission routes for GB virus C/hepatitis G virus in Swedish blood donors lacking markers for hepatitis C virus infection. *Vox Sang* 2001; 81: 148-53.
- El-Zayadi AR, Abe K, Selim O, Naito H, Hess G, Ahdy A.

- Prevalence of GBV-C/hepatitis G virus viraemia among blood donors, health care personnel, chronic non-B non-C hepatitis, chronic hepatitis C and hemodialysis patients in Egypt. *J Virol methods* 1999; 80: 53-8.
11. Xiang J, Wunschmann S, Diekema DJ, Klinzman D, Patrick KD, George SL, et al. Effect of coinfection with GB virus C on survival among patients with HIV infection. *N Engl J Med* 2001; 345: 707-14.
  12. Berzsenyi MD, Bowden DS, Roberts SK. GB virus C: insights into co-infection. *J Clin Virol* 2005; 33: 257-66.
  13. Williams CF, Klinzman D, Yamashita TE, Xiang J, Polgreen PM, Rinaldo C, et al. Persistent GB virus C infection and survival in HIV-infected men. *N Engl J Med* 2004; 350: 981-90.
  14. Yang JF, Dai CY, Chuang WL, Lin WY, Lin ZY, Chen SC, et al. Prevalence and clinical significance of HGV/GBV-C infection in patients with chronic hepatitis B or C. *Jpn J Infect Dis* 2006; 59: 25-30.
  15. Don RH, Cox PT, Wainwright BJ, Baker K, Mattick JS. 'Touchdown' PCR to circumvent spurious priming during gene amplification. *Nucleic Acids Res* 1991; 19: 4008.
  16. Shahzamani K, Sabahi F, Merat S, Rezvan H, Mirab Samiee S, Karimi Arzanani M. The use of a sensitive RT-Nested PCR method for detection of Hepatitis C virus. *Modares J Med Sciences* 2007; 10: 35-41.
  17. Lu L, Ng MH, Zhou B, Luo H, Nakano T, Robertson BH, et al. Detection and genotyping of GBV-C/HGV variants in China. *Virus Res* 2001; 73: 131-44.
  18. Smith DB, Basaras M, Frost S, Haydon D, Cuceanu N, Prescott L, et al. Phylogenetic analysis of GBV-C/hepatitis G virus. *J General Virol* 2000; 81: 769-80.
  19. Pilot-Matias TJ, Muerhoff AS, Simons JN, Leary TP, Buijk SL, Chalmers ML, et al. Identification of antigenic regions in the GB hepatitis viruses GBV-A, GBV-B, and GBV-C. *J Med Virol* 1996; 48: 329-38.
  20. Kaya H, Erdem F, Polat MF, Kiki I, GÜNDÖDÜ M, ÖZÇÝÇEK F. Prevalence of Hepatitis G Virus in Blood Donors and Recipients. *Turk J Haematol* 2003; 20: 85-90.
  21. De Filippi F, Lampertico P, Soffredini R, Rumi MG, Lunghi G, Aroldi A, et al. High prevalence, low pathogenicity of hepatitis G virus in kidney transplant recipients. *Dig Liver Dis* 2001; 33: 477-9.
  22. Kallinowski B, Seipp S, Dengler T, Klar E, Theilmann L, Stremmel W. Clinical impact of hepatitis G virus infection in heart and liver transplant recipients. *Transplant Proc* 2002; 34: 2288-91.
  23. Berzsenyi MD, Bowden DS, Kelly HA, Watson KM, Mich AM, Hammond RA, et al. Reduction in hepatitis C-related liver disease associated with GB virus C in human immunodeficiency virus coinfection. *Gastroenterology* 2007; 133: 1821-30.
  24. Zhang W, Chaloner K, Tillmann HL, Williams CF, Stapleton JT. Effect of early and late GB virus C viraemia on survival of HIV-infected individuals: a meta-analysis. *HIV Med* 2006; 7: 173-80.
  25. Baggio-Zappia GL, Hernandes Granato CF. HIV-GB virus C co-infection: an overview. *Clin Chem Lab Med* 2009; 47: 12-9.
  26. Tillmann HL, Heiken H, Knapik-Botor A, Heringlake S, Ockenga J, Wilber JC, et al. Infection with GB virus C and reduced mortality among HIV-infected patients. *N Engl J Med* 2001; 345: 715-24.
  27. Lefrere JJ, Roudot-Thoraval F, Morand-Joubert L, Petit JC, Lerable J, Thauvin M, et al. Carriage of GB virus C/hepatitis G virus RNA is associated with a slower immunologic, virologic, and clinical progression of human immunodeficiency virus disease in coinfected persons. *J Infect Dis* 1999; 179: 783-9.
  28. Yeo AE, Matsumoto A, Hisada M, Shih JW, Alter HJ, Goedert JJ. Effect of hepatitis G virus infection on progression of HIV infection in patients with hemophilia. Multicenter Hemophilia Cohort Study. *Ann Intern Med* 2000; 132: 959-63.
  29. Antonucci G, Girardi E, Cozzi-Lepri A, Capobianchi MR, Morsica G, Piazzaferri P, et al. Response to HAART and GB virus type C coinfection in a cohort of antiretroviral-naïve HIV-infected individuals. *Antivir Ther* 2005; 10: 109-17.
  30. Souza IE, Zhang W, Diaz RS, Chaloner K, Klinzman D, Stapleton JT. Effect of GB virus C on response to antiretroviral therapy in HIV-infected Brazilians. *HIV Med* 2006; 7: 25-31.
  31. Birk M, Lindback S, Lidman C. No influence of GB virus C replication on the prognosis in a cohort of HIV-1-infected patients. *AIDS* 2002; 16: 2482-5.
  32. Bjorkman P, Flamholc L, Naucler A, Molnegren V, Wallmark E, Widell A. GB virus C during the natural course of HIV-1 infection: viremia at diagnosis does not predict mortality. *AIDS* 2004; 18: 877-86.
  33. Van der Bij AK, Kloosterboer N, Prins M, Boeser-Nunnink B, Geskus RB, Lange JM, et al. GB virus C coinfection and HIV-1 disease progression: The Amsterdam Cohort Study. *J Infect Dis* 2005; 191: 678-85.
  34. Berzsenyi MD, Bowden DS, Roberts SK, Revill PA. GB virus C genotype 2 predominance in a hepatitis C virus/HIV infected population associated with reduced liver disease. *J Gastroenterol Hepatol* 2009; 24: 1407-10.
  35. Muerhoff AS, Tillmann HL, Manns MP, Dawson GJ, Desai SM. GB virus C genotype determination in GB virus-C/HIV co-infected individuals. *J Med Virol* 2003; 70: 141-9.
  36. Dille BJ, Surowy TK, Gutierrez RA, Coleman PF, Knigge MF, Carrick RJ, et al. An ELISA for detection of antibodies to the E2 protein of GB virus C. *J Infect Dis* 1997; 175: 458-61.
  37. Tacke M, Kiyosawa K, Stark K, Schlueter V, Ofenloch-Haehnle B, Hess G, et al. Detection of antibodies to a putative hepatitis G virus envelope protein. *Lancet* 1997; 349: 318-20.
  38. Thomas DL, Vlahov D, Alter HJ, Hunt JC, Marshall R, Astemborski J, et al. Association of antibody to GB virus C (hepatitis G virus) with viral clearance and protection from reinfection. *J Infect Dis* 1998; 177: 539-42.
  39. Bogard M, Buffet-Janvresse C, Cantaloube JF, Biagini P, Duverlie G, Castelain S, et al. GEMHEP multicenter quality control study of PCR detection of GB virus C/hepatitis G virus RNA in serum. *J Clin Microbiol* 1997; 35: 3298-300.
  40. Kunkel U, Hohne M, Berg T, Hopf U, Kekule AS, Frosner G, et al. Quality control study on the performance of GB virus C/hepatitis G virus PCR. *J Hepatol* 1998; 28: 978-84.

41. Lefrere JJ, Ferec C, Roudot-Thoraval F, Loiseau P, Cantaloube JF, Biagini P, et al. GBV-C/hepatitis G virus (HGV) RNA load in immunodeficient individuals and in immunocompetent individuals. *J Med Virol* 1999; 59: 32-7.
42. Abu Odeh RO, Al-Moslih MI, Al-Jokhdar MW, Ezzeddine SA. Detection and genotyping of GBV-C virus in the United Arab Emirates. *J Med Virol* 2005; 76: 534-40.
43. Brumme ZL, Chan KJ, Dong WW, Mo T, Wynhoven B, Hogg RS, et al. No association between GB virus-C viremia and virological or immunological failure after starting initial antiretroviral therapy. *AIDS* 2002; 16: 1929-33.
44. Heringlake S, Ockenga J, Tillmann HL, Trautwein C, Meissner D, Stoll M, et al. GB virus C/hepatitis G virus infection: a favorable prognostic factor in human immunodeficiency virus-infected patients? *J Infect Dis* 1998; 177: 1723-6.
45. Rodriguez B, Woolley I, Lederman MM, Zdunek D, Hess G, Valdez H. Effect of GB virus C coinfection on response to antiretroviral treatment in human immunodeficiency virus-infected patients. *J Infect Dis* 2003; 187: 504-7.
46. Cristiano K, Di Bisceglie AM, Hoofnagle JH, Feinstone SM. Hepatitis C viral RNA in serum of patients with chronic non-A, non-B hepatitis: detection by the polymerase chain reaction using multiple primer sets. *Hepatology* 1991; 14: 51-5.
47. Meng Q, Wong C, Rangachari A, Tamatsukuri S, Sasaki M, Fiss E, et al. Automated multiplex assay system for simultaneous detection of hepatitis B virus DNA, hepatitis C virus RNA, and human immunodeficiency virus type 1 RNA. *J Clin Microbiol* 2001; 39: 2937-45.
48. Tanaka E, Alter HJ, Nakatsuji Y, Shih JW, Kim JP, Matsumoto A, et al. Effect of hepatitis G virus infection on chronic hepatitis C. *Ann Intern Med* 1996; 125: 704-43.
49. Alter HJ. The cloning and clinical implications of HGV and HGBV-C. *N Engl J Med* 1996; 334: 1536-7.
50. Feucht HH, Zollner B, Polywka S, Knodler B, Schroter M, Nolte H, et al. Prevalence of hepatitis G viremia among healthy subjects, individuals with liver disease, and persons at risk for parenteral transmission. *J Clin Microbiol* 1997; 35: 767-8.
51. Martinot M, Marcellin P, Boyer N, Detmer J, Pouteau M, Castelnau C, et al. Influence of hepatitis G virus infection on the severity of liver disease and response to interferon-alpha in patients with chronic hepatitis C. *Ann Intern Med* 1997; 126: 874-81.
52. Quiros E, Piedrola G, Maroto MC. GBV-C RNA presence in several high-risk groups of Spain. *Eur J Epidemiol* 1998; 14: 617-9.
53. Sauleda S, Reesink HJ, Esteban JI, Hess G, Esteban R, Guardia J. Profiles of GBV-C/hepatitis G virus markers in patients coinfecte with hepatitis C virus. *J Med Virol* 1999; 59: 45-51.
54. Yan J, Dennin RH. A high frequency of GBV-C/HGV coinfection in hepatitis C patients in Germany. *World J Gastroenterol* 2000; 6: 833-41.
55. Zali MR, Mayumi M, Raoufi M, Nowroozi A. GBV-C infection among patients with hepatitis C virus in the Islamic Republic of Iran: a preliminary report. *East Mediterr Health J* 1999; 5: 1030-4.
56. Ramezani A, Mohraz M, Vahabpour R, Jam S, Banifazl M, Eslamifar A, et al. Frequency of hepatitis G virus infection among HIV positive subjects with parenteral and sexual exposure. *J Gastrointest Liver Dis* 2008; 17: 269-72.
57. Hekmat S, Mohraz M, Vahabpour R, Jam S, Bahramali G, Banifazl M, et al. Frequency and genotype of GB virus C among Iranian patients infected with HIV. *J Med Virol* 2008; 80: 1941-6.
58. Haji Molla Hoseini M, Pourfathollah AA, Mohraz M, Soheili Z, Amini S, Aghaiepour M, et al. Evaluation of circulating natural type 1 interferon-producing cells in HIV/GBV-C and HIV/HCV coinfected patients: a preliminary study. *Arch Med Res* 2007; 38: 868-75.
59. Amini S, Andalibi Mahmoodabadi S, Lamian S, Joulaie M, Mahmoodi Farahani M. Prevalence of Hepatitis G virus (HGV) in High-Risk Groups and Blood Donors in Tehran, Iran. *Iranian J Publ Health* 2005; 34: 41-6.
60. Amini Kafi-Abad S, Samiei S, Talebian A, Maghsudloo M, Gharehbaghian A. Hepatitis G Virus Infection in Iranian Blood Donors and High-Risk Groups. *Hep Mon* 2009; 9: 282-6.

## Detection of Hepatitis G virus(GBV-C), in chronic Hepatitis c Patient,by RT-Nested PCR

Ghanbari R<sup>1,4</sup>, Ravanshad M<sup>2</sup>, Hosseini SY<sup>1</sup>, Shahzamani K<sup>3,4</sup>

<sup>1</sup>Researcher, Department of Virology, Faculty of Medical Sciences,  
Tarbiat Modares University, Tehran, Iran.

<sup>2</sup> Assistant Professor, Department of Virology, Faculty of Medical  
Sciences, Tarbiat Modares University, Tehran, Iran

<sup>3</sup> Assistant Professor, Department of Biology, Faculty of Basic Sciences,  
Lorestan University, Khorramabad, Iran.

<sup>5</sup> Researcher, Digestive Disease Research Center, Shariati Hospital,  
Tehran University of Medical Sciences, Tehran, Iran.

### ABSTRACT

**Background:** Hepatitis G virus (GBV-C) is a single strand RNA positive virus and is a member of flaviviridae family. Infection with the virus is prevalent and has worldwide distribution. Accurate diagnosis of the virus is very important, because of co-infection with other important viruses like HCV, HBV and HIV, it may influence on pathogenesis, disease progression and response to viral therapy.

**Materials and Methods:** In the current investigation a sensitive and accurate RT-Nested PCR for isolation and detection of 5'-UTR sequences of Hepatitis G virus (GBV-C) was developed and applied. First genome of the virus was extracted and then, by Reverse Transcription method, cDNA was synthesized. Then, by use of a double stage PCR and two pairs of specific primers, the specified region of the virus genome was amplified and the final product was visualized on agarose gel electrophoresis.

**Results:** Based on five positive samples, the method was developed and optimized. Then, by use of the developed method, 71 sera samples from chronic HCV infected patients, were checked for Hepatitis G virus (GBV-C). Finally, it was shown that 31(43.6%) patients were positive for Hepatitis G virus.

**Conclusion:** Based in the results in the current study, it was shown that the developed assay has acceptable performance for diagnosis of Hepatitis G virus infection. Also it was concluded that the infection rate among chronic HCV infected patients is high.

**Keywords:** Nested PCR, RT-PCR, Hepatitis G virus, 5'-UTR

Govaresh/ Vol. 14, No.3, Autumn 2009; 153-160

### Corresponding author:

Department of Virology, Faculty of Medical Sciences,  
Tarbiat Modares University, Tehran, Iran

Telefax : +98-21-82883836

E-mail: Ravanshad@modares.ac.ir

**Received:** 16 Dec. 2009      **Edited:** 22 Feb. 2010

**Accepted:** 23 Feb. 2010